

### 3 - 1 関東・東海地域における最近の地震活動 (1982年5月～10月)

#### Recent Seismic Activities in the Kanto-Tokai Area (May-October, 1982)

国立防災科学技術センター  
National Research Center for Disaster Prevention

防災センターの関東・東海地域地殻活動観測網に新たに8観測点が加わり、地震については、1982年5月1日から合計44観測点による定常観測が行われている。新設点を含む全観測点の分布を第1図に、それらの座標を第1表に示す。

1982年10月末までの観測点ごとの日別地震回数を第2図に、月別の震源分布を第3図に示す。日別地震回数は、今回から、代表的な観測点12個所(第1図参照)についてのみ報告する。この期間の注目すべき地震活動を以下に摘記する。

- (1) 伊豆半島東岸の川奈崎付近で、5月及び9月にそれぞれ継続期間数日程度の群発活動が見られた。5月の群発地震は、既報<sup>1)</sup>の通り殆んどがM2以下の微小なものであった。9月の活動では、

9月9日 13時09分 34.96° N 139.16° E 深さ19Km M = 3.8

が最大であった。この後9月19日前後には、新島付近で最大M = 3.6の地震を含む群発活動が発生している。

- (2) 三浦半島南西沖の相模ドラフ付近に一連の地震活動が見られた。M3以上の地震は下記の3個である：

5月16日 15時46分 35.02° N 139.49° E 深さ30Km M = 3.7

8月12日 13時33分 34.96° N 139.52° E 深さ38Km M = 5.2

8月13日 20時37分 34.95° N 139.50° E 深さ32Km M = 3.1

これらの地震の発震機構は北西-南東最大主圧力のストライク・スリップ型であった。

- (3) 神奈川県西部の箱根強羅付近で、9月4日から30日にかけて、M = 3.5を最大とする群発地震が発生した。詳しくは別報<sup>2)</sup>を参照したい。なおこの間に、国府津-松田断層のほぼ真下に下記の微小地震が発生した：

9月6日 17時39分 35.31° N 139.21° E 深さ18Km M = 2.3

- (4) 7月23日23時23分、茨城県沖にM = 7.0(気象庁)の地震が発生し、多数の前震、余震が観測された。この地震については別報<sup>3)</sup>を参照されたい。

## 参 考 文 献

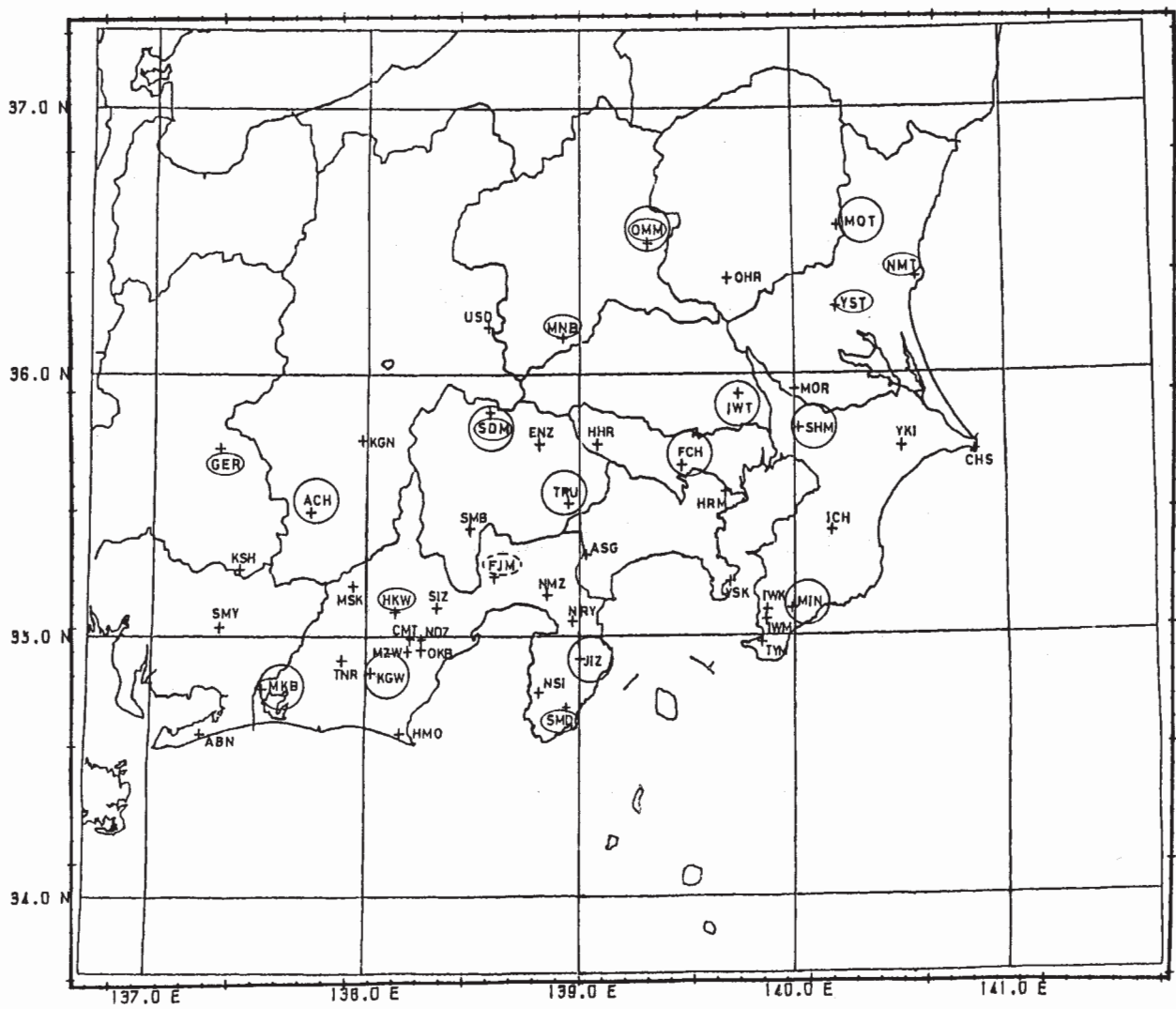
- 1) 国立防災科学技術センター：1982年5月伊豆半島東岸の群発地震活動について，連絡会報，**28**（1982），178 - 180.
- 2) 国立防災科学技術センター：1982年9月箱根強羅付近の群発地震活動について，連絡会報，**29**（1983）， -
- 3) 岡田義光・他：茨城県沖の地震（1982年7月23日）概報，国立防災科学技術センター研究速報，**46**，1 - 14.

第1表 防災センターの観測点 (1982年12月現在)

Table 1 Observation stations of the NRCDP as of December 1982.

CODE	NAME			LAT (°)	LONG (°)	HGT (km)
ABN	AKABANE	S	赤羽	34.6293	137.2339	0.0400
ACH	ACHI	S	阿智	35.4754	137.7380	0.7620
ASG	MINAMIASHIGARA	ST	南足柄	35.3138	139.0279	0.3860
CHS	CHOHSHI	ST	銚子	35.7022	140.8550	-0.0420
CMT	CHIKAMATA	T	近又	34.9722	138.2488	0.0510
ENZ	ENZAN	ST	塩山	35.7360	138.8053	0.8070
FCH	FUCHU	ST	府中	35.6507	139.4736	-2.7070
FJM	FUJINOMIYA	S	富士宮	35.2330	138.5970	-0.0570
GER	GERO	S	下呂	35.7274	137.3051	0.6200
HHR	HINOHARA	S	槍原	35.7353	139.0764	0.5950
HKW	HONKAWANJ	ST	本川根	35.0932	138.1380	0.3430
HMO	HAMAOKA	S	浜岡	34.6308	138.1597	-0.0610
HRM	KAWASAKI	S	川崎	35.5506	139.6792	-0.5360
ICH	ICHIHARA	S	市原	35.4009	140.1768	-0.1460
IWK	IWAI-KITA	ST	岩井北	35.0981	139.8714	0.
IWM	IWAI-MINAMI	T	岩井南	35.0802	139.8646	0.
IWT	IWATSUKI	ST	岩槻	35.9258	139.7381	-3.5010
JIZ	NAKAIZU	ST	中伊豆	34.9129	138.9968	0.2630
KGN	KOMAGANE	S	駒ヶ根	35.7518	137.9719	0.6290
KGW	KAKEGAWA	S	掛川	34.8626	138.0222	0.0690
KSH	KUSHIHARA	S	串原	35.2576	137.4088	0.3430
MIN	MINEOKA	S	三ヶ岡	35.1019	139.9908	0.1000
MKB	MIKKABI	ST	三ヶ日	34.8015	137.5139	-0.0380
MNB	MANBA	S	万場	36.1411	138.9174	0.8950
MOR	MORIYA	S	守谷	35.9425	140.0044	0.0010
MOT	MOTEGI	S	茂木	36.5535	140.2167	0.1400
MSK	MISAKUBO	S	水窪	35.1934	137.9391	0.7540
MZW	MATOZAWA	T	的沢	34.9512	138.2467	0.1090
NDZ	NODAZAWA	T	野田沢	34.9605	138.2797	0.0820
NMT	NAKAMINATO	S	那珂湊	36.3622	140.5838	-0.0750
NMZ	NUMAZU	S	沼津	35.1576	138.8462	0.1140
NRY	NIRAYAMA	ST	韭山	35.0599	138.9628	-0.0910
NSI	NISHITZU	S	西伊豆	34.7870	138.8040	-0.4220
OHR	OHHIRA	S	大平	36.3600	139.6924	0.2500
OKB	OKABE	ST	大岡部	34.9500	138.2538	-0.0300
OMM	OOMAMA	S	大間々	36.4971	139.3212	0.4630
SDM	SUDAMA	S	大須玉	35.8643	138.5770	1.2700
SHM	SHIMOHSA	ST	下総	35.7934	140.0238	-2.2770
SIZ	SHIZUOKA	ST	静岡	35.1116	138.3296	0.0760
SMB	SHIMBE	S	下部	35.4157	138.4834	0.2020
SMD	SHIMODA	ST	下田	34.7376	138.9343	-0.0130
SMY	SHIMOYAMA	S	下山	35.0365	137.3155	0.3030
TNR	TENRYU	S	天竜	34.9078	137.8852	0.0660
TRU	TSURU	S	都留	35.5105	138.9439	0.5650
TYM	TATEYAMA	S	館山	34.9708	139.8481	0.0300
USD	USUDA	S	白田	36.1813	138.5642	0.9690
YKI	YOHKAICHIIBA	S	八日市場	35.7185	140.5088	-0.1420
YSK	YOKOSUKA	S	横浜	35.2077	139.6996	-0.1890
YST	YASATO	S	八郷	36.2530	140.2061	-0.0710

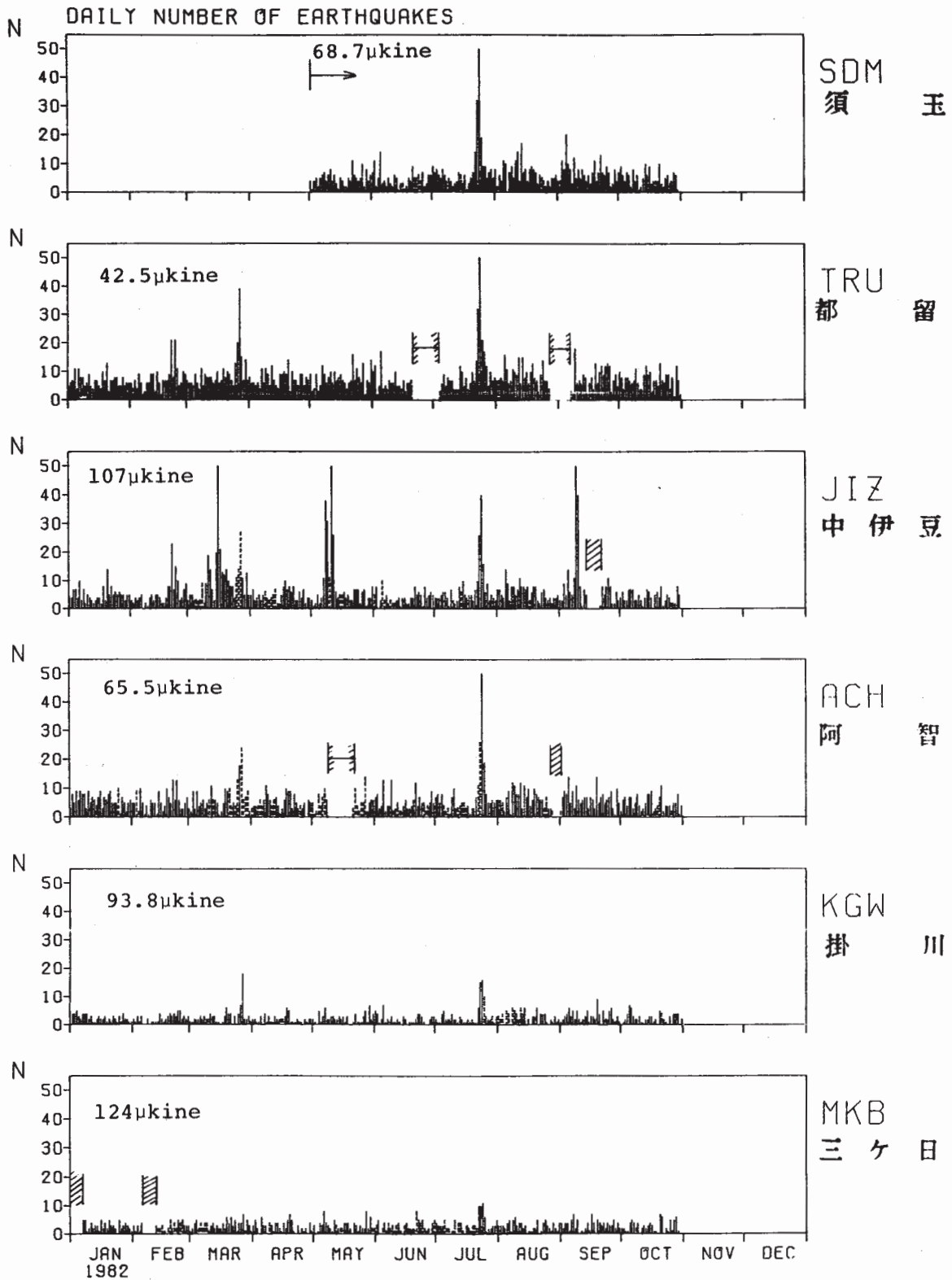
S : Seismometer  
T : Tiltmeter



第1図 防災センターの観測点分布（1982年12月現在）。楕円で囲んだものは新設観測点，円で囲んだものは日別地震回数報告点を示す

Fig. 1 Distribution of the NRCDP stations as of December 1982. The station code enclosed by an ellipse and a circle indicates the new station, and the station for which daily frequency of earthquakes is reported, respectively.

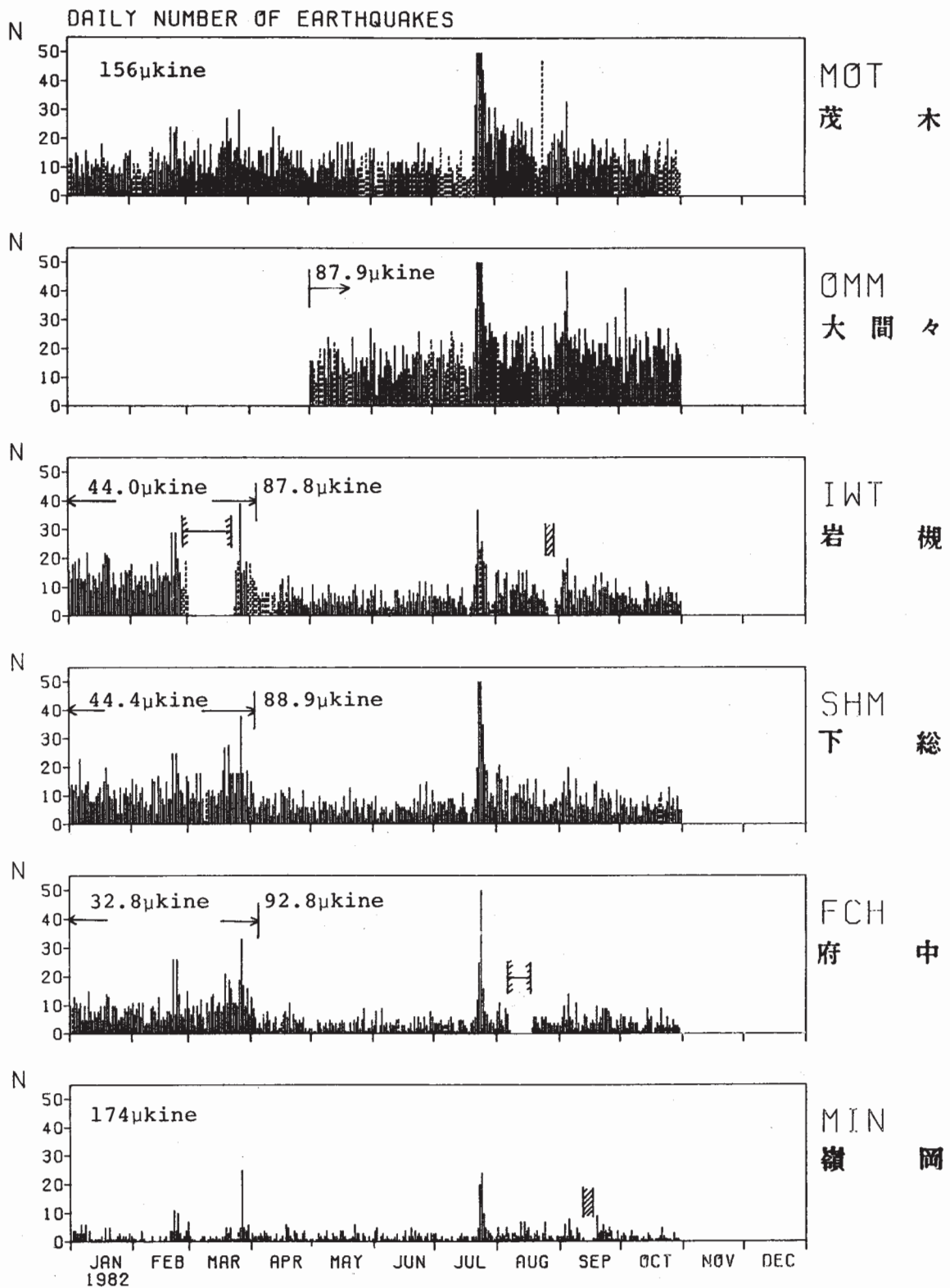
(1)



第2図 観測点ごとの日別地震回数。数値は地震計数時のスレッシュホルドレベル (片振巾), 斜線部は長期欠測, 破線は1日以内の欠測を示す

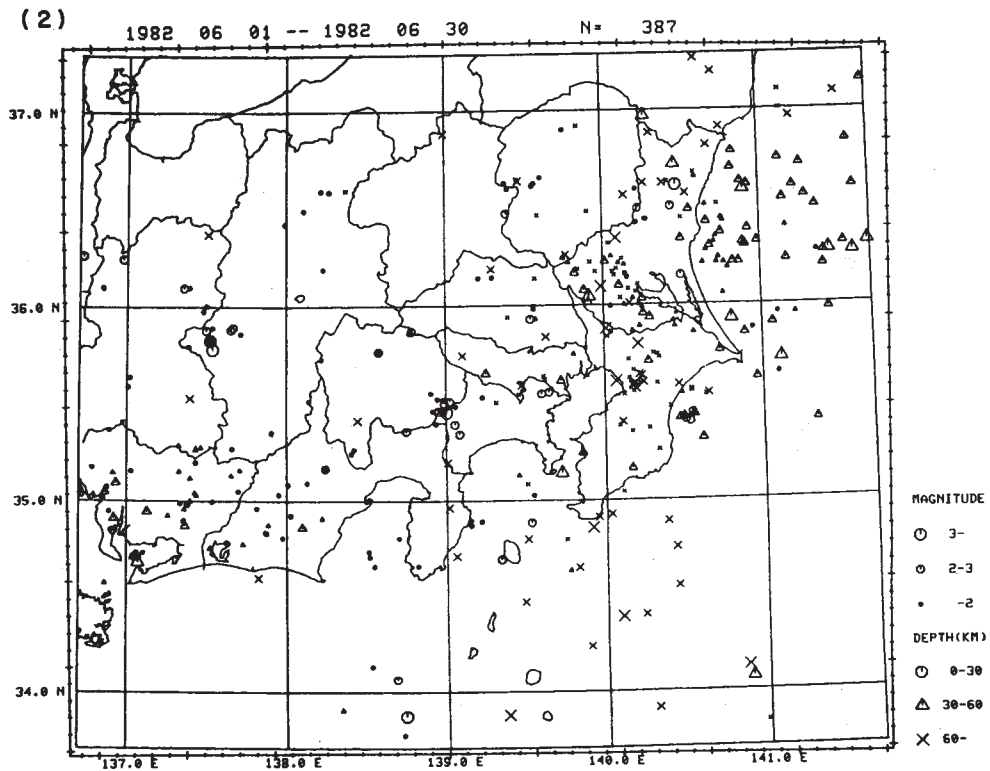
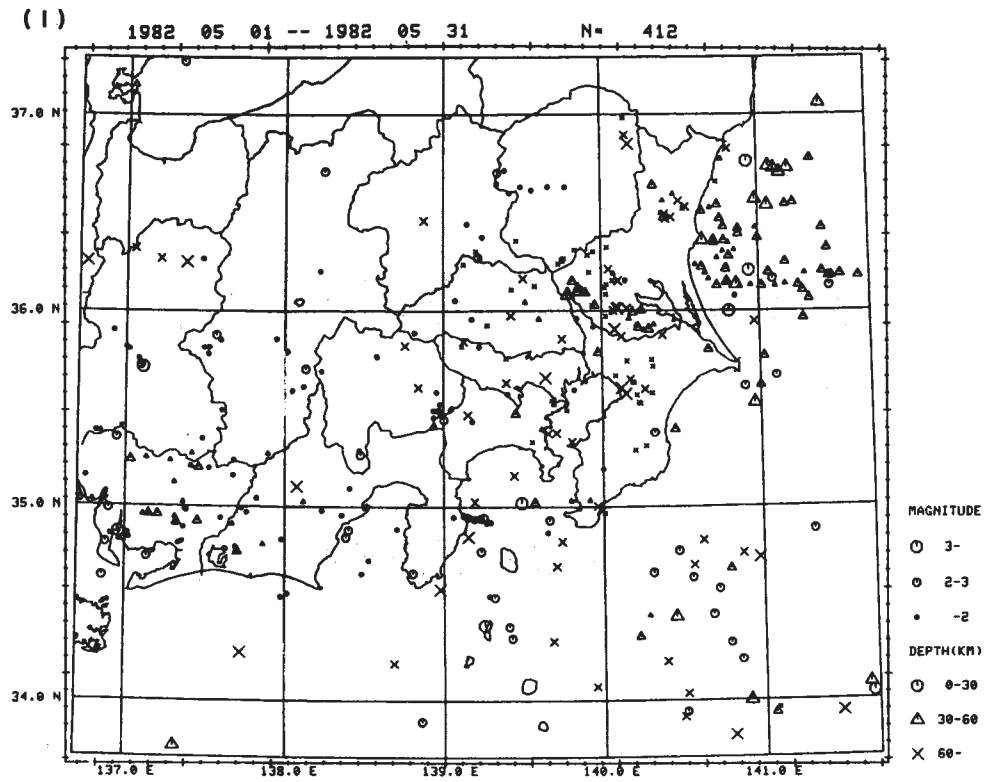
Fig. 2 Daily frequency of earthquakes for the representative stations which are shown in Fig.1. Numerals are threshold levels of the maximum amplitude for counting the number of earthquakes. Broken bars and shaded portions mean partial breaks of observation within one day and for more than one day, respectively.

(2)



第2図 つづき

Fig. 2 (Continued)

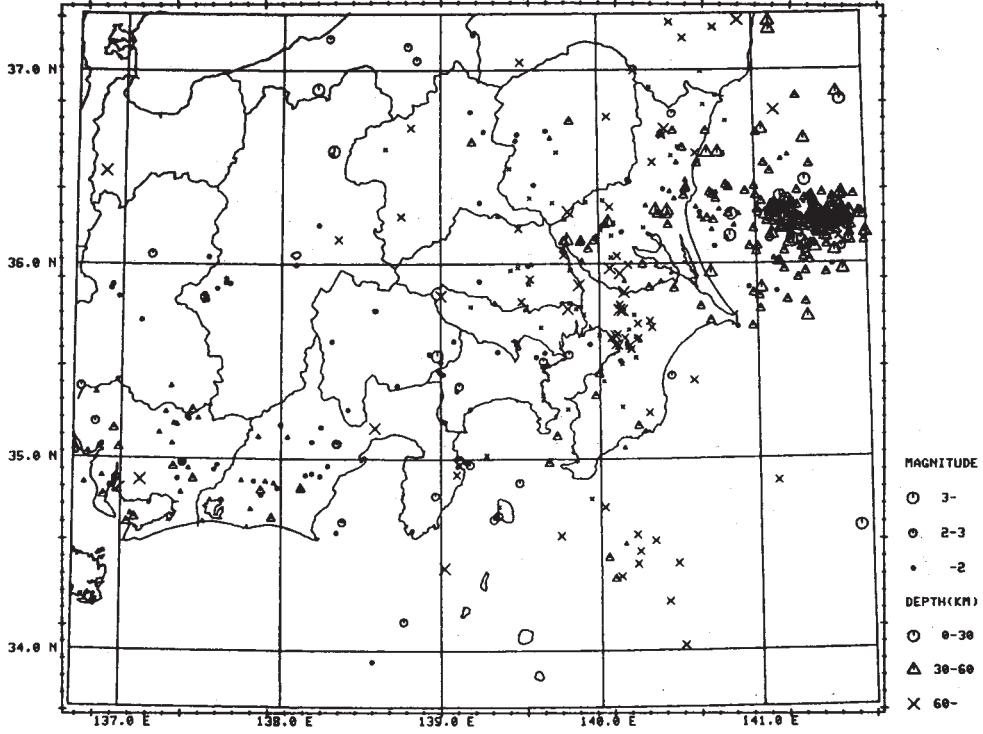


第3図 防災センターの観測網による月別震源分布

Fig. 3 Monthly plot of hypocentral distribution by the NRCDP observation net.

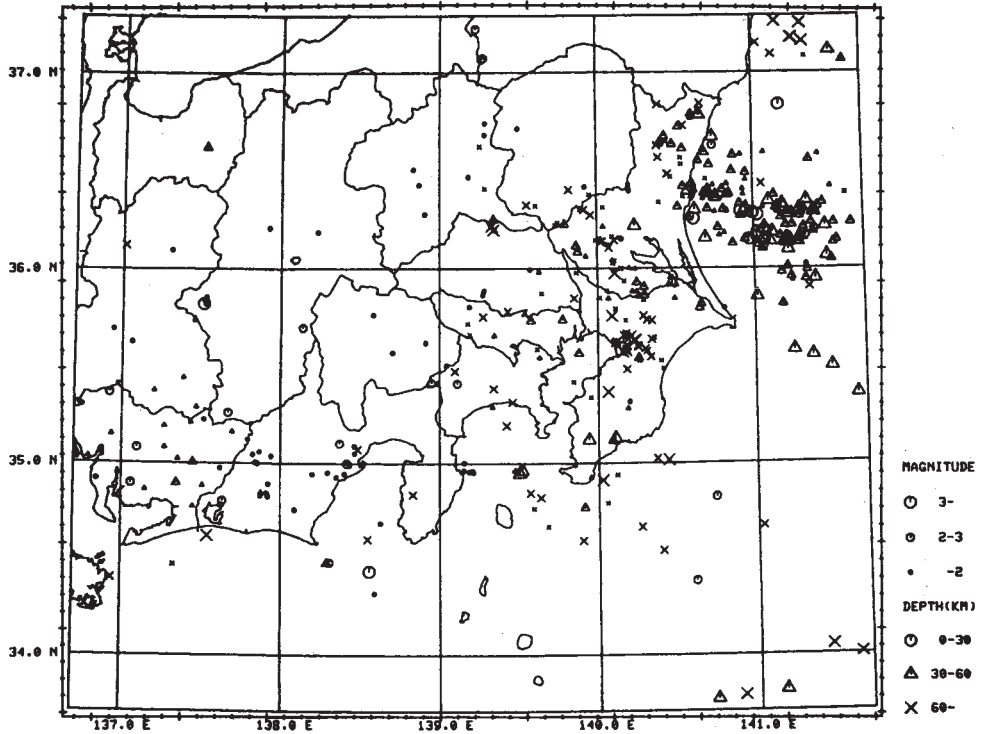
(3)

1982 07 01 -- 1982 07 31 N= 547



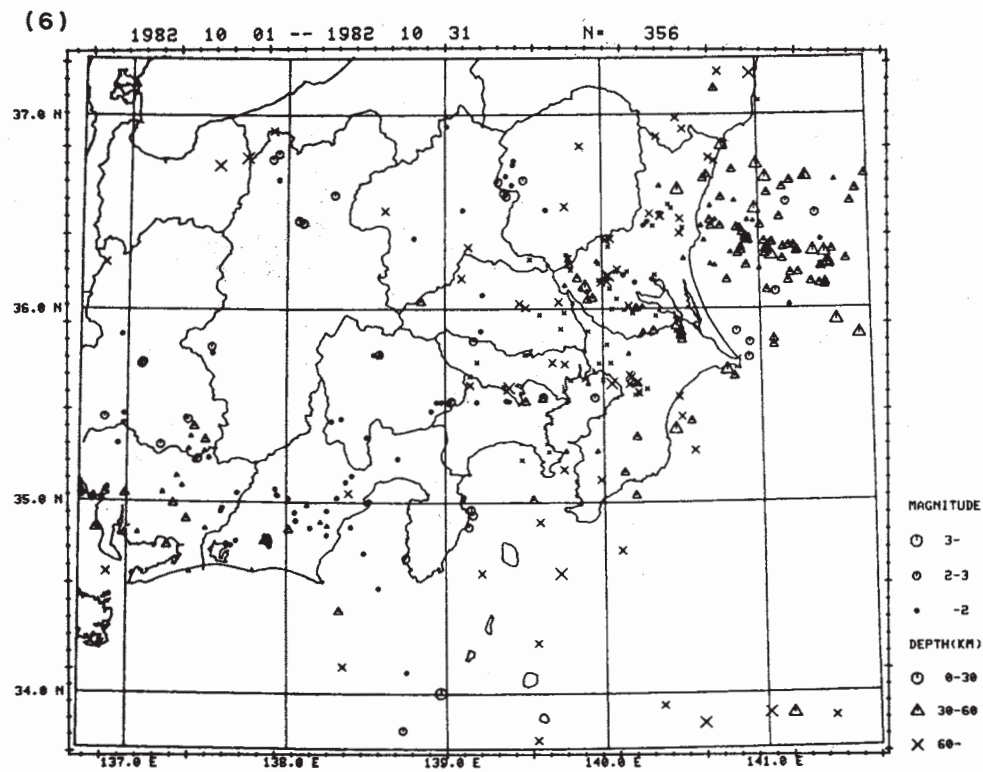
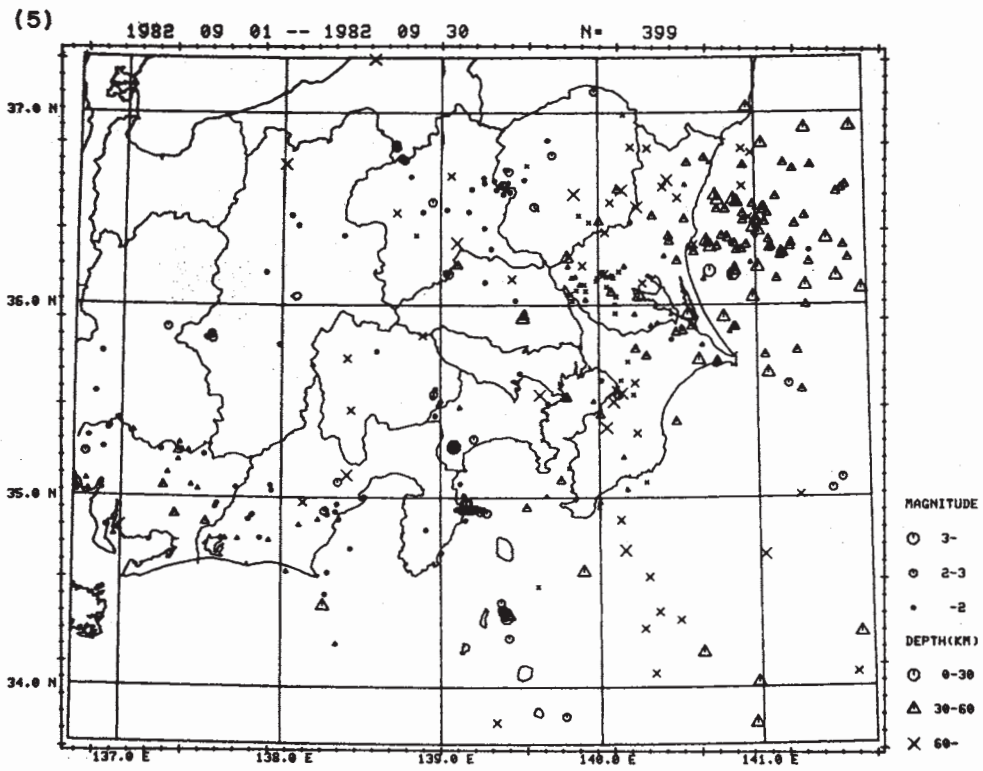
(4)

1982 08 01 -- 1982 08 31 N= 428



第3図 つづき

Fig. 3 (Continued)



第3図 つづき

Fig. 3 (Continued)